

© В. И. Ефимов

**ПСЕВДОМОРФЫ ТАЛЬКА ПО ЖИЛАМ  
ЛОМКОГО ХРИЗОТИЛ-АСБЕСТА  
БАЖЕНОВСКОГО МЕСТОРОЖДЕНИЯ**

(Представлена чл.-корр. РАН К. К. Золоевым)

Исследователи ломкого хризотил-асбеста Баженовского и других месторождений приводят данные о всевдоморфном замещении жил хризотил-асбеста тальком и карбонатом (Огнев, 1961; Соболев, Волочаев, 1966). Нами на основе детального изучения псевдоморфоз в керне скважин при детальной разведке Баженовского месторождения были выполнены палеореконструкции интрапрудного этапа на геологических разрезах, которые показали гигантские размеры проявления пострудного гидротермального метаморфизма, выразившиеся в частичном или полном уничтожении залежей хризотил-асбеста (рис. 1). Установлено (Ефимов, 1988, 2000), что тальк-карбонатному метасоматозу гипербазитов, залежей и проявлений нормального хризотил-асбеста предшествует стадия образования залежей ломкого хризотил-асбеста в сопровождении вторичного ангидрит-оливинового парагенезиса. Таким образом происходит замещение жил хризотил-асбеста тальк-карбонатной породой на уровне строения агрегата и фибрillы хризотил-асбеста показывает настоящее исследование.

Исследования выполнены с использованием электронно-микроскопического изучения проб ломкого хризотил-асбеста и псевдоморф по нему талька, отобранных из залежей ломкого хризотил-асбеста. Результаты изучения рассмотрены на примере образца 1757 из залежи 2/6, в котором ломкий хризотил-асбест в жиле мощностью 9—10 мм имеет постепенные переходы к тальк-карбонатной породе (рис. 2) и, таким образом, отражает в одном образце сущность рассматриваемого явления. В образце выделены три участка: хризотиловый (1), переходный (2) и тальковый (3).

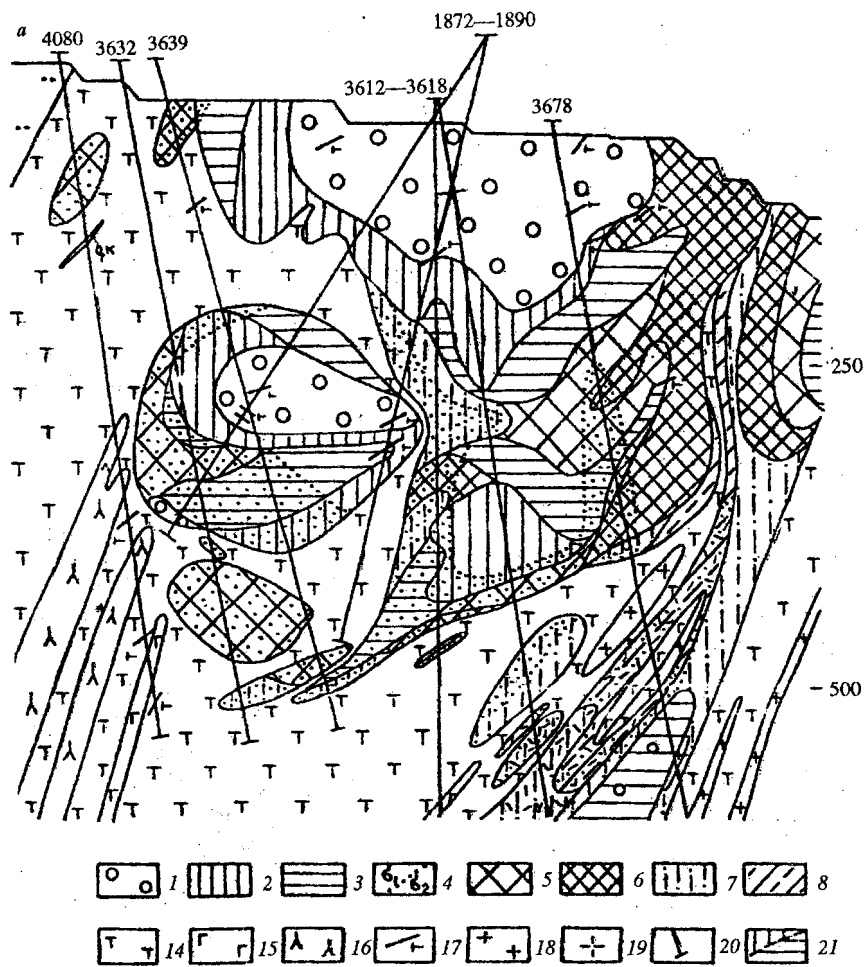
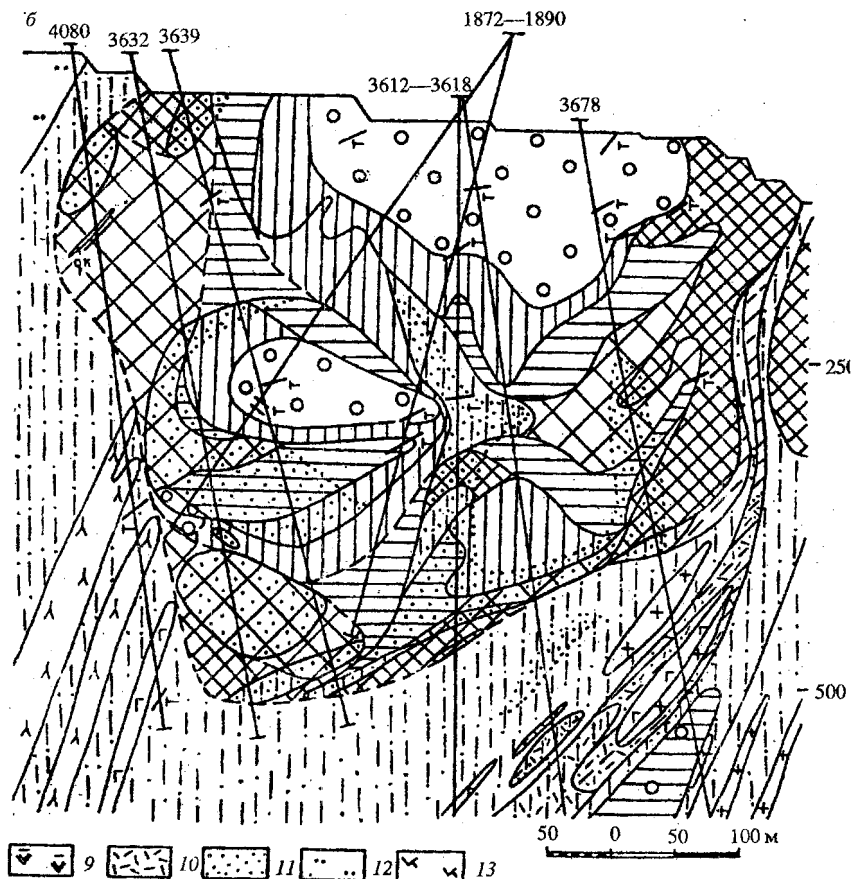


Рис. 1. Геологический разрез по линии 80 (а), тот же разрез (б) со снятым гидротермальным метаморфизмом пород пострудного этапа и реконструкцией за- лежей асбеста



#### Содержание условных обозначений к рис. 1

1—3 — перидотиты: 1 — безрудные, 2 — с бедными отороченными жилами, 3 — с отороченными жилами; 4 — границы в перидотитах по первичной природе; 5—8 — серпентиниты с различными типами асбестоносности: 5 — крупной сетки, 6 — мелкой сетки, 7 — просечек поперечно волокнистого строения, 8 — просечек продольноволокнистого строения; 9 — серпентиниты карбонатизированные неасбестоносные; 10 — серпентиниты перекристаллизованные (антигоритовые); 11 — зоны минерализации ломкого асбеста; 12 — антигоритовые серпентиниты, расположенные к западу от Пятой зоны разломов; 13 — серпентин-карбонатные породы; 14 — тальк-карбонатные породы; 15 — габбро; 16 — амфиболовые породы; 17 — жилы родонигритов; 18 — диориты; 19 — плагиограниты рефтинского комплекса; 20 — скважины детальной разведки; 21 — границы зон асбестоносности в реконструированных залежах

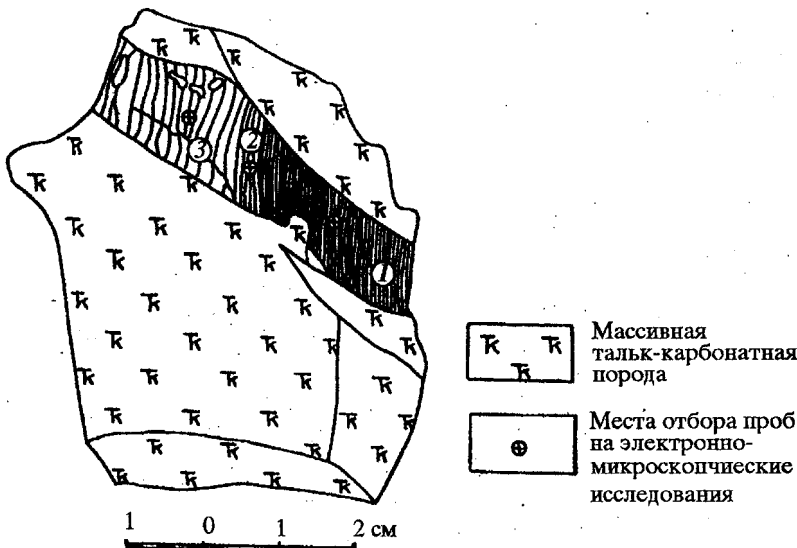


Рис. 2. Псевдоморфное замещение тальком жилы ломкого асбеста в образце 1757.

участки: 1 — хризотиловый, 2 — переходный, 3 — тальковый

Пробы исследовались в лаборатории электронной микроскопии Горного института в Екатеринбурге методом: суспензий в сочетании с микродифракцией и реплик с экстракцией в сочетании с микродифракцией.

### Результаты исследований

**Участок хризотиловый.** На электронно-микроскопической фотографии (ЭМФ) суспензии видны скопления преимущественно коротких прямых волокон хризотил-асбеста и единичных длинных полупрозрачных ленточек талька (рис. 3). Принадлежность волокон хризотил-асбесту подтверждена съемкой картин микродифракции (рис. 4), по которым они определены как клинохризотилы.

На ЭМФ реплик со скола видны (рис. 5) параллельно расположенные волокна хризотил-асбеста. Картина микродифракции с отдельных волокон, извлеченных на реплику, подтверждает их принадлежность к клинохризотилу (рис. 6). На дифрактограмме этого участка фиксируется, в основном, рефлексы серпентина (хризотил-асбеста), а интенсивность рефлексов талька — мала (рис. 7—1).

**Участок переходный.** На ЭМФ суспензии наблюдаются близкие

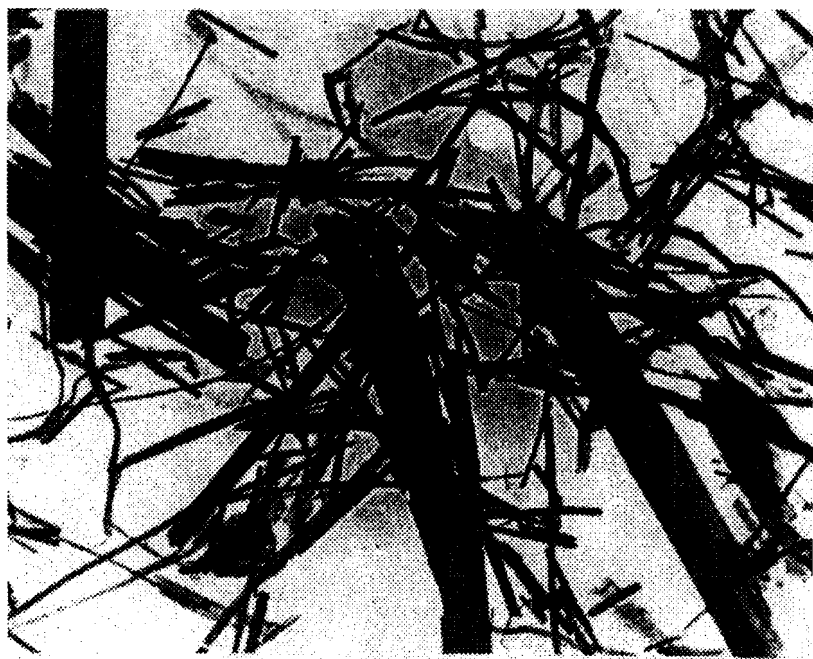


Рис. 3. Электронная микрофотография суспензии пробы 1757 из участка хризотиловый. Увеличение 27 000

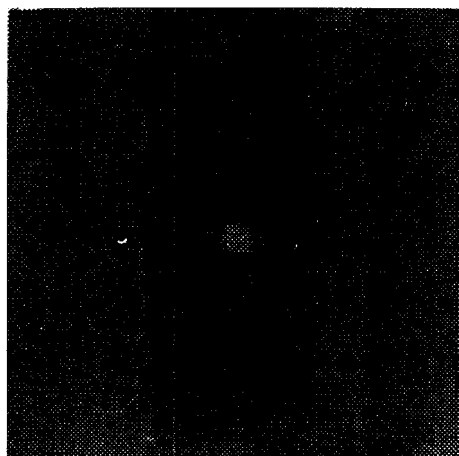


Рис. 4. Картина микроди-  
фракции хризотила из участ-  
ка хризотиловый

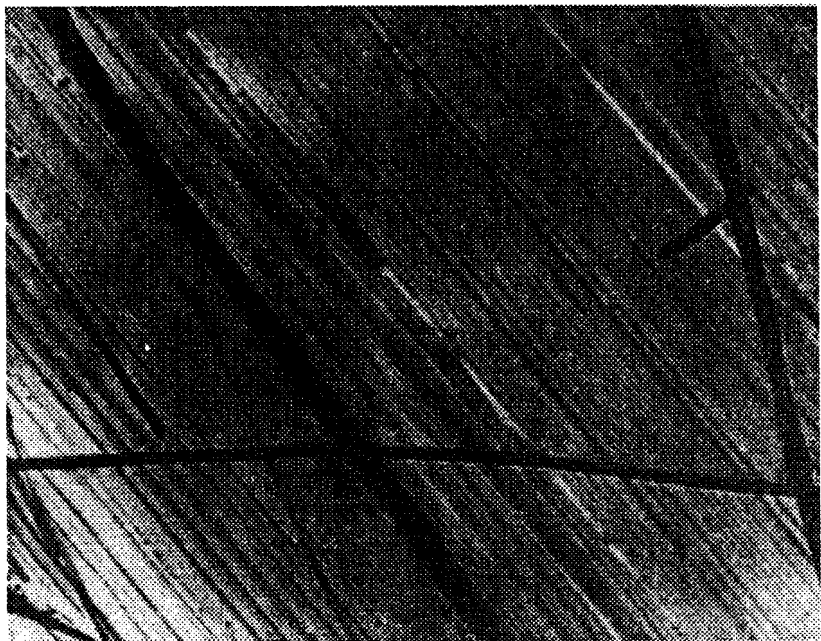


Рис. 5. ЭМФ реплики поверхности скола участка хризотиловый. Увеличение 14 000

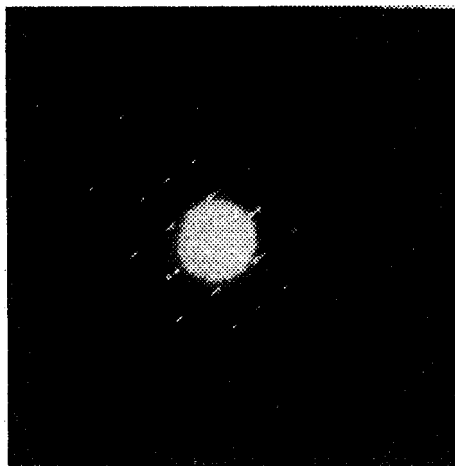


Рис. 6. Картина микродифракции волокон хризотила, извлеченных на реплику

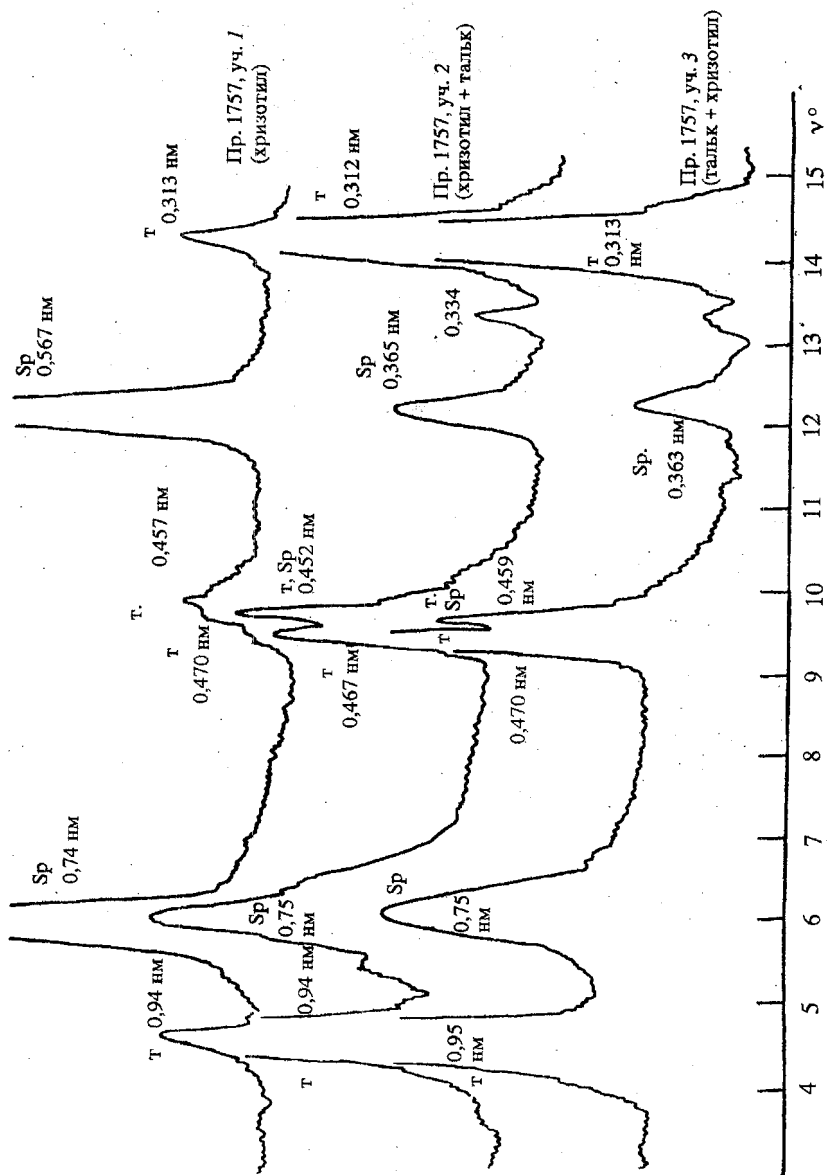


Рис. 7. Дифрактограммы проб образца 1757 с участками:  
1 — хризотиловый, 2 — переходный, 3 — тальковый



Рис. 8. Электронная микрофотография суспензии пробы 1757 из участка переходный. Увеличение 14 000

по количеству содержания волокон хризотила и лентообразных кристаллов талька. Нередко встречаются изгибы и развороты ленточек относительно плоскости снимка (рис. 8).

Картинами микродифракции ленточек содержат гексагональную сетку рефлексов, характерную для талька (рис. 7—2). На реплике с поверхности скола видно сочетание достаточно широких полос (в масштабе снимка) и ленточек талька, по границам которых расположены волокна хризотила (хризотил-асбеста). Картина микродифракции с отдельных волокон подтверждает их хризотиловую природу. На поверхности реплик видны скопления волокон (рис. 9). Дифрактограмма этого участка (рис. 7—2) содержит рефлексы талька и хризотила.

Участок тальковый. На ЭМФ суспензии видны широкие лентообразные частицы талька и их пачки, очень редко встречаются волокна хризотила. Последние на реплике с поверхности скола развиты на границе между пачками лент талька. На дифрактограмме этого участка образца фиксируются очень сильные рефлексы — талька и средней интенсивностью рефлексы хризотила (рис. 7—3). На ЭМФ

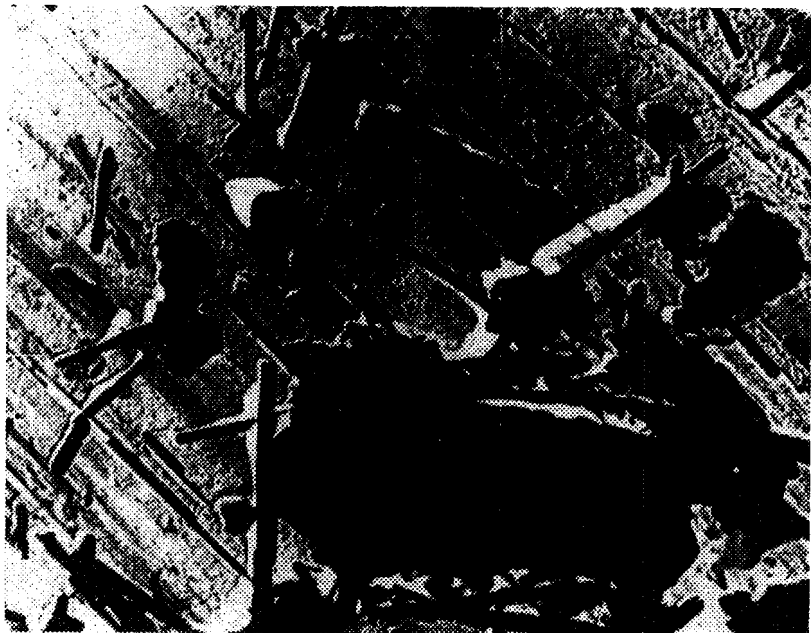


Рис. 9. Электронная микрофотография реплики поверхности скола участка переходный. Увеличение 27 000

реплики, полученной с границы жилы хризотил-асбеста, псевдоморфно замещенной тальком, с вмещающей породой хорошо виден ступенчатый характер контакта. Одинаковый тальковый состав жилы и вмещающей породы подтверждается дифрактограммой.

Тесное срастание и взаимные переходы талька и хризотила описаны Д. Р. Виблем, П. Р. Бушек (1979). В работах Уиттекера (1975), Г. Кунца и Ягодзинского (1954) рассмотрены несколько геометрических моделей структуры единичных фибрill: коаксиальный цилиндр, цилиндрический рулон и винтовой рулон. Первые две модели допускают полное совпадение направления оси фибрillы с кристаллографическими осями всех слоев и, следовательно, отсутствие расщеплений рефлексов на картинах микродифракции одиночных фибрill. Авторы (Варламеева и др., 1985) отмечают, что в природных образцах реализуется в той или иной степени каждая из названных моделей. В эластичных хризотил-асбестах преобладают конусная (винтовой рулон), в ломких — цилиндрические модели.

На картинах микродифракции исследованных нами проб расщепления рефлексов не наблюдается. Однако, из-за ограниченнос-

ти наблюдений нет достаточных оснований для окончательных заключений о типе структуры ломкого хризотил-асбеста.

Проведенными электронно-микроскопическими исследованиями прослежен постепенный характер замещения асбеста тальком, что подтверждает положение о стадийности пострудного процесса (Ефимов, 1968) и наложении тальк-карbonатного метасоматоза на ранее сформировавшийся ломкий хризотил-асбест. В связи с этим, вблизи тальк-карbonатных пород руды на залежах ломкого хризотил-асбеста Баженовского месторождения будут по качеству ниже, так как содержат вредные примеси талька, что необходимо учитывать при их отработке.

### Литература

1. Ефимов В. И. Условия формирования и закономерности размещения ломкого хризотил-асбеста на Баженовском месторождении // Автореф. дис. кандидата геолого-минералогических наук. Асбест, 1938.
2. Ефимов В. И. О генетической связи месторождений Асбестовского рудного узла с гранитными интрузиями района // Геология и металлогения Урала. Екатеринбург, 2000. С. 102—107.
3. Огнев А. С. О природе ломкого хризотил-асбеста. Труды НИИасбест, вып. 1, 1961. С. 39—46.
4. Соболев Н. Д., Волочаев В. Я. Петрография и генезис месторождений ломкого хризотил-асбеста. Недра, 1966.
5. Gagodzinski H., Kunze U. Stzuktur des Chrysotils // N. Jahrbuch f. Mineralogia. Monatshefte, 1954.
6. Veblem D.R., Buseck P.R. Serpentine minerals: intergrowths and new combination structures // Science, 1979, vol. 206, N 4425. P. 1398—1400.
7. Wicks F.S., Whittaker E.J.W. A reappraisal of the serpentine minerals // Can. Mineral., vol. 42, 1975. — P. 227—243.